

RÉDUCTION DE MODÈLE PAR IDENTIFICATION EN
CONVECTION FORCÉE POUR DES SYSTÈMES SOUMIS À
DES CONDITIONS AUX LIMITES THERMIQUES
INSTATIONNAIRES :
APPLICATION À L'ÉCOULEMENT LE LONG D'UNE MARCHE AVEC CONTRÔLE
THERMIQUE PAR RETOUR D'ÉTAT.

Yassine ROUIZI

Institut P' - Département Fluide, Thermique, Combustion

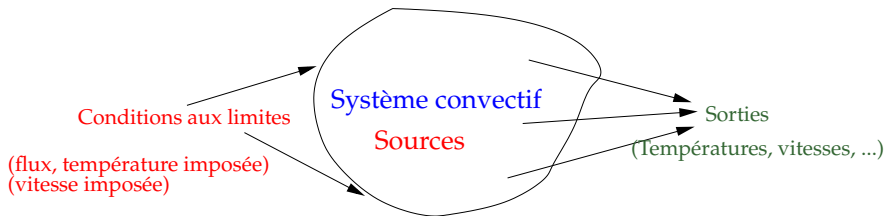
24 Juin 2010

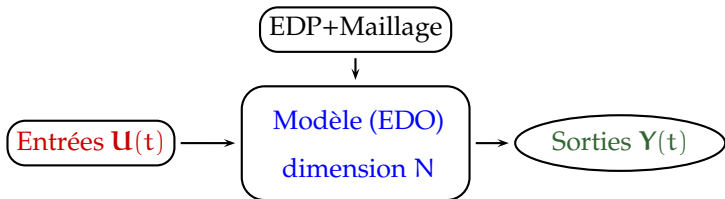
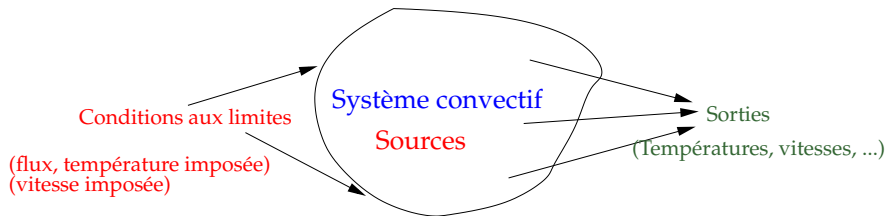
Directeurs de Thèse : Daniel PETIT - Yann FAVENNEC

PLAN DE L'EXPOSÉ

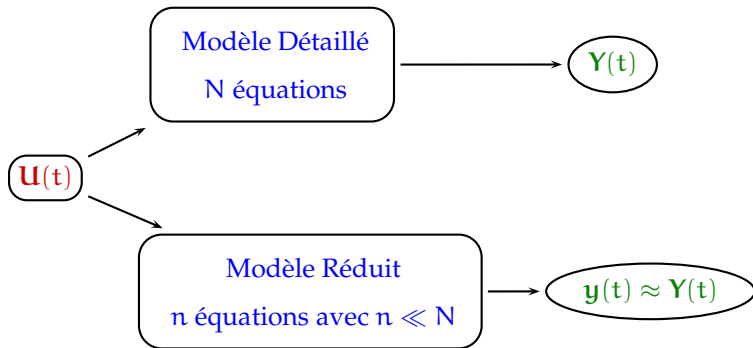
- 1 CONTEXTE DE L'ÉTUDE : RÉDUCTION DE MODÈLE EN CONVECTION
- 2 MÉTHODE D'IDENTIFICATION MODALE (MIM) EN CONVECTION-DIFFUSION
- 3 ÉCOULEMENTS LAMINAIRES INCOMPRESSIBLES STATIONNAIRES
- 4 COUPLAGE FAIBLE VITESSE-TEMPÉRATURE
- 5 COMMANDE OPTIMALE PAR MODÈLE RÉDUIT MIM

- 1 CONTEXTE DE L'ÉTUDE : RÉDUCTION DE MODÈLE EN CONVECTION
- 2 MÉTHODE D'IDENTIFICATION MODALE (MIM) EN CONVECTION-DIFFUSION
- 3 ÉCOULEMENTS LAMINAIRES INCOMPRESSIBLES STATIONNAIRES
- 4 COUPLAGE FAIBLE VITESSE-TEMPÉRATURE
- 5 COMMANDE OPTIMALE PAR MODÈLE RÉDUIT MIM

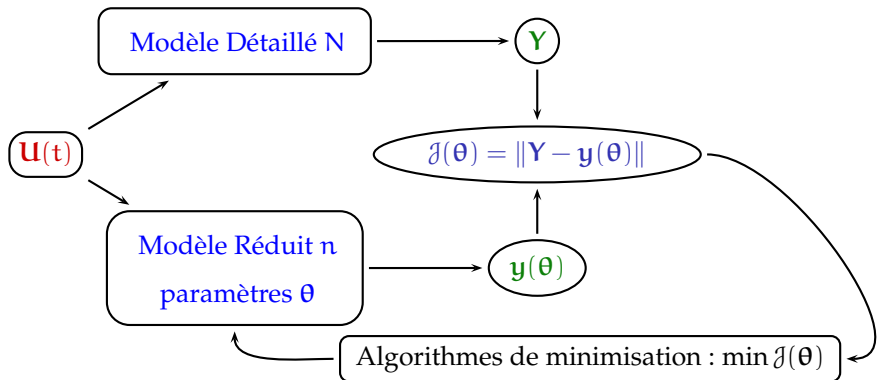
THERMIQUE ET MÉCANIQUE DES FLUIDES : SYSTÈME ET SIMULATION
NUMÉRIQUE

THERMIQUE ET MÉCANIQUE DES FLUIDES : SYSTÈME ET SIMULATION
 NUMÉRIQUE


PRINCIPE DE LA RÉDUCTION DE MODÈLE



MÉTHODE D'IDENTIFICATION DE MODÈLE RÉDUIT



Procédure itérative

$$\bar{\theta} = \arg [\min J(\theta)]$$

ALGORITHMES D'OPTIMISATION UTILISÉS

- Quasi-Newton
 - Méthode d'ordre 1 (calcul du gradient)
 - Approximation du Hessien
 - Méthode déterministe
 - Minimum local
 - Sensible à l'initialisation
- Optimisation par Essaims de Particules
 - Méthode d'ordre 0 (pas de calcul du gradient)
 - Basée sur l'interaction sociale
 - Méthode stochastique
 - Minimum global
 - Temps de calcul important

- 1 CONTEXTE DE L'ÉTUDE : RÉDUCTION DE MODÈLE EN CONVECTION
- 2 MÉTHODE D'IDENTIFICATION MODALE (MIM) EN CONVECTION-DIFFUSION
- 3 ÉCOULEMENTS LAMINAIRES INCOMPRESSIBLES STATIONNAIRES
- 4 COUPLAGE FAIBLE VITESSE-TEMPÉRATURE
- 5 COMMANDE OPTIMALE PAR MODÈLE RÉDUIT MIM

PROBLÈME DE CONVECTION-DIFFUSION

- Hypothèses

- Écoulements 2D laminaires et incompressibles
- Fluides Newtoniens
- Champ de vitesse fixé
- Convection forcée

- Équation de l'énergie

$$\left\{ \begin{array}{l} \frac{\partial T}{\partial t} + \vec{V} \cdot \nabla T - \frac{\lambda}{\rho C_p} \Delta T = 0 \\ + \text{conditions aux limites} \\ + \text{condition initiale} \end{array} \right.$$

- Représentation d'état après discrétisation spatiale

$$\left\{ \begin{array}{ll} \frac{dT}{dt} = \mathbf{A}_{dc} T + \mathbf{B} U & \mathbf{T} = \mathbf{T}(t) \in \mathbb{R}^N \quad \mathbf{A}_{dc} \text{ matrice de transition d'état} \\ \mathbf{Y} = \mathbf{C} T & \mathbf{Y} = \mathbf{Y}(t) \in \mathbb{R}^q \quad \text{de diffusion convection} \end{array} \right.$$

MÉTHODE D'IDENTIFICATION MODALE

Étapes de la Méthode d'Identification Modale (MIM)

- Définir la structure (paramétrique) du Modèle Réduit (MR)
 - Similaire à la structure du Modèle Détaillé (MD) sous forme modale
- Identifier les paramètres
 - Minimisation d'un critère d'écart entre les réponses du MD et celles du MR
 - Méthodes d'optimisation

MÉTHODE D'IDENTIFICATION MODALE

- Représentation d'état

$$\begin{cases} \frac{dT}{dt} = \mathbf{A}_{dc}T + \mathbf{B}U \\ Y = \mathbf{C}T \end{cases}$$

- Changement de variable

$T = \mathbf{M}X$ avec $F = \mathbf{M}^{-1}\mathbf{A}_{dc}\mathbf{M}$ et \mathbf{M} la matrice des vecteurs propres

- Forme modale

$$\begin{cases} X = X(t) \in \mathbb{C}^N, Y = Y(t) \in \mathbb{R}^q \\ \frac{dX}{dt} = \mathbf{F}X + \mathbf{G}U \\ Y = \mathbf{H}X \end{cases}$$

MÉTHODE D'IDENTIFICATION MODALE

- Forme modale

$$\left\{ \begin{array}{l} \mathbf{X} = \mathbf{X}(t) \in \mathbf{C}^N, \mathbf{Y} = \mathbf{Y}(t) \in \mathbb{R}^q \\ \frac{d\mathbf{X}}{dt} = \mathbf{F}\mathbf{X} + \mathbf{G}\mathbf{U} \\ \mathbf{Y} = \mathbf{H}\mathbf{X} \end{array} \right.$$

- Forme du Modèle Réduit avec $n \ll N$

$$\left\{ \begin{array}{l} \mathbf{x} = \mathbf{x}(t) \in \mathbf{C}^n, \mathbf{y} = \mathbf{y}(t) \in \mathbb{R}^q \\ \frac{d\mathbf{x}}{dt} = \mathbf{f}\mathbf{x} + \mathbf{g}\mathbf{u} \\ \mathbf{y} = \mathbf{h}\mathbf{x} \end{array} \right.$$

- Vecteur des paramètres $\boldsymbol{\theta} = [f_{ii}, g_i, h_{ik}]$ ($i = 1, \dots, n$) et ($k = 1, \dots, q$)

MÉTHODE D'IDENTIFICATION MODALE

- Identification des paramètres θ . Formulation dans \mathbb{C}

- Minimisation du critère

$$\mathcal{J}(\theta) = \|\mathbf{Y} - \mathbf{y}(\theta)\|^2$$

- $\theta = [f_{ii}, g_i, h_{ik}] \in \mathbb{C}^{\dim(\theta)}$ paramètres du Modèle Réduit *complexe*

$$\left\{ \begin{array}{l} \begin{pmatrix} \dot{x}_1 \\ \dot{\bar{x}}_1 \\ \vdots \\ \dot{x}_{nc} \\ \dot{\bar{x}}_{nc} \end{pmatrix} = \begin{pmatrix} f_1 & & & & \\ & \bar{f}_1 & & & \\ & & \ddots & & \\ & & & f_{nc} & \\ & & & & \bar{f}_{nc} \end{pmatrix} \begin{pmatrix} x_1 \\ \bar{x}_1 \\ \vdots \\ x_{nc} \\ \bar{x}_{nc} \end{pmatrix} + \begin{pmatrix} g_1 \\ \bar{g}_1 \\ \vdots \\ g_{nc} \\ \bar{g}_{nc} \end{pmatrix} \mathbf{u} \\ \\ \begin{pmatrix} y_1 \\ \vdots \\ y_q \end{pmatrix} = \begin{pmatrix} h_{11} & \bar{h}_{11} & \cdots & h_{1nc} & \bar{h}_{1nc} \\ \vdots & \vdots & \vdots & \vdots & \vdots \\ h_{1q} & \bar{h}_{1q} & \cdots & h_{qnc} & \bar{h}_{qnc} \end{pmatrix} \begin{pmatrix} x_1 \\ \bar{x}_1 \\ \vdots \\ x_{nc} \\ \bar{x}_{nc} \end{pmatrix} \end{array} \right.$$

MÉTHODE D'IDENTIFICATION MODALE

- Identification des paramètres θ . Formulations dans \mathbb{R}

- Minimisation du critère

$$\mathcal{J}(\theta) = \|\mathbf{Y} - \mathbf{y}(\theta)\|^2$$

- $\theta = [f_{ii}, g_i, h_{ik}] \in \mathbb{R}^{\dim(\theta)}$ paramètres du Modèle Réduit *réel*

$$\left\{ \begin{array}{l} \begin{pmatrix} \dot{x}_1 \\ \vdots \\ \dot{x}_n \end{pmatrix} = \begin{pmatrix} f_1 & & & \\ & \ddots & & \\ & & f_n & \end{pmatrix} \begin{pmatrix} x_1 \\ \vdots \\ x_n \end{pmatrix} + \begin{pmatrix} g_1 \\ \vdots \\ g_n \end{pmatrix} \mathbf{u} \\ \begin{pmatrix} y_1 \\ \vdots \\ y_q \end{pmatrix} = \begin{pmatrix} h_{11} & h_{12} & \cdots & h_{1n} \\ \vdots & \vdots & \vdots & \vdots \\ h_{1q} & h_{2q} & \cdots & h_{nq} \end{pmatrix} \begin{pmatrix} x_1 \\ \vdots \\ x_n \end{pmatrix} \end{array} \right.$$

MÉTHODE D'IDENTIFICATION MODALE

- Identification des paramètres θ .

- Minimisation du critère

$$\mathcal{J}(\theta) = \|\mathbf{Y} - \mathbf{y}(\theta)\|^2$$

- $\theta = [f_{ii}, g_i, h_{ik}] \in \mathbb{R}^{\dim(\theta)}$ paramètres du Modèle Réduit *réel*

$$\left\{ \begin{array}{l} \left(\begin{array}{c} \dot{x}_1 \\ \vdots \\ \dot{x}_n \end{array} \right) = \left(\begin{array}{cccc} f_1 & & & \\ & \ddots & & \\ & & \ddots & \\ & & & f_n \end{array} \right) \left(\begin{array}{c} x_1 \\ \vdots \\ x_n \end{array} \right) + \left(\begin{array}{c} g_1 \\ \vdots \\ g_n \end{array} \right) \mathbf{u} \\ \left(\begin{array}{c} y_1 \\ \vdots \\ y_q \end{array} \right) = \left(\begin{array}{cccc} h_{11} & h_{12} & \cdots & h_{1n} \\ \vdots & \vdots & \vdots & \vdots \\ h_{2q} & h_{2q} & \cdots & h_{nq} \end{array} \right) \left(\begin{array}{c} x_1 \\ \vdots \\ x_n \end{array} \right) \end{array} \right.$$

- Erreur quadratique σ

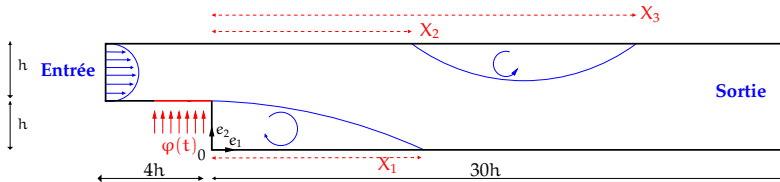
$$\sigma = \sqrt{\frac{\mathcal{J}(\theta)}{q n_t}}$$

- Erreur Maximale ε

$$\varepsilon = \sup_{\substack{j=1,\dots,q \\ i=1,\dots,n_t}} |\mathbf{Y}_{ij} - \mathbf{y}_{ij}(\theta)|$$

ÉCOULEMENT CHAUFFÉ EN AMONT D'UNE MARCHÉ

- Fluide air
- Écoulement laminaire $Re = 500$
- Densité de flux $\varphi(t)$
- Régime de convection forcée pour $\varphi = 300 \text{ W m}^{-2}$



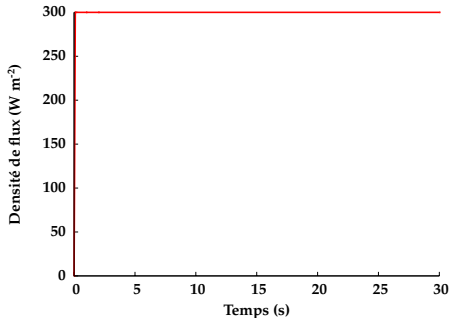
$$Ri = \frac{\text{énergie gravitationnelle}}{\text{énergie cinétique}} = \frac{Gr}{Re^2}$$

$$Ri = 0,11 \ll 1 \text{ convection forcée}$$

- Modèle de référence
 - MD (Fluent)
 - $N = 144247$ nœuds de calcul
- Données pour l'identification
 - $\varphi(0) = 0$ sinon $\varphi(t) = 300 \text{ W m}^{-2}$
 - 300 pas de temps de 0,1 s
 - Observables = champ complet

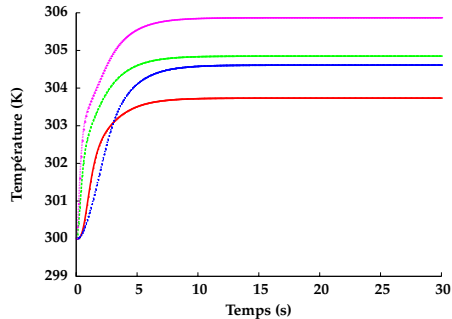
ÉCOULEMENT CHAUFFÉ EN AMONT D'UNE MARCHE

- Échelon de densité de flux
 $U = \varphi$



Entrée φ utilisée pour l'identification.

- Réponses à l'échelon φ



Thermogrammes obtenus.

IDENTIFICATION

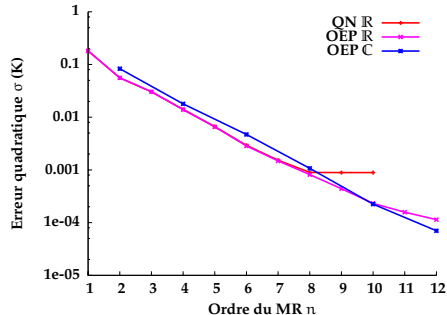
- Critère à minimiser

$$J(\theta) = \sum_{i=1}^{300} \sum_{j=1}^{144247} (Y_{ij} - y_{ij}(\theta))^2$$

- 3 identifications différentes

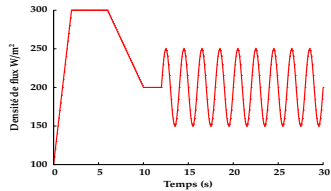
- 1 Par Quasi-Newton d'un Modèle Réduit réel
- 2 Par OEP d'un Modèle Réduit réel
- 3 Et par OEP d'un Modèle Réduit complexe

- Identification

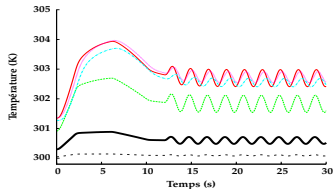


Erreur quadratique σ .

VALIDATION

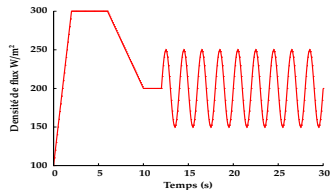


Flux de validation $\varphi(t)$

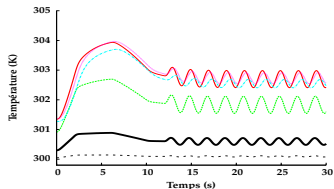


Thermogrammes obtenus par MR

VALIDATION



Flux de validation $\varphi(t)$



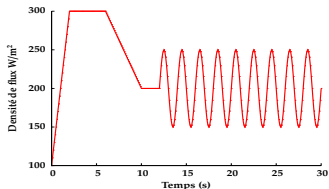
Thermogrammes obtenus par MR

● Modèle Réduit $n = 8$

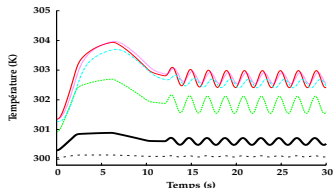
Modèle	ordre n	$\sigma(K)$	$\varepsilon(K)$
QN	8	$8,14 \times 10^{-4}$	$1,20 \times 10^{-2}$
OEP IR	8	$6,70 \times 10^{-4}$	$1,13 \times 10^{-2}$
OEP C	8	$8,92 \times 10^{-4}$	$1,83 \times 10^{-2}$

Comparaison entre le MD et les différents MRs.

VALIDATION



Flux de validation φ (t)



Thermogrammes obtenus par MR

● Modèle Réduit $n = 8$

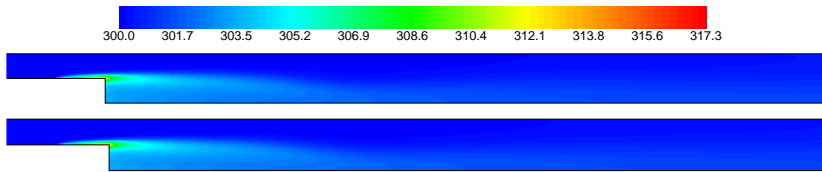
Modèle	ordre n	σ (K)	ε (K)
QN	8	$8,14 \times 10^{-4}$	$1,20 \times 10^{-2}$
OEP IR	8	$6,70 \times 10^{-4}$	$1,13 \times 10^{-2}$
OEP C	8	$8,92 \times 10^{-4}$	$1,83 \times 10^{-2}$

Comparaison entre le MD et les différents MRs.

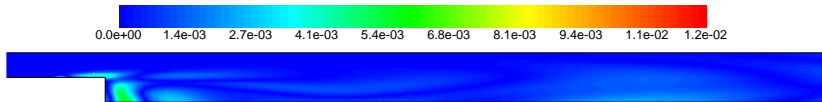
- Temps de simulation 21 s pour 144247 observables et pour 300 pas de temps
- Temps de construction du MR d'ordre 8 :
 - environ 1 heure pour QN
 - et 10 heures avec l'OEP

VALIDATION

Validation du Modèle Réduit $n = 8$

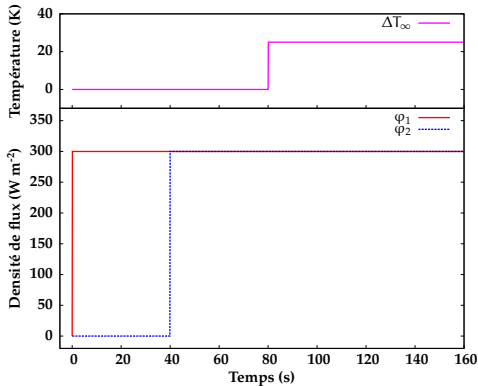


Champs de température obtenus par le Modèle Détaillé (haut) et par le Modèle Réduit (QN) d'ordre $n = 8$ (bas) à $t = 16,6$ s (temps où l'erreur est maximale).



Écart absolu entre les sorties du MD et les sorties du MR d'ordre 8 à $t = 16,6$ s.

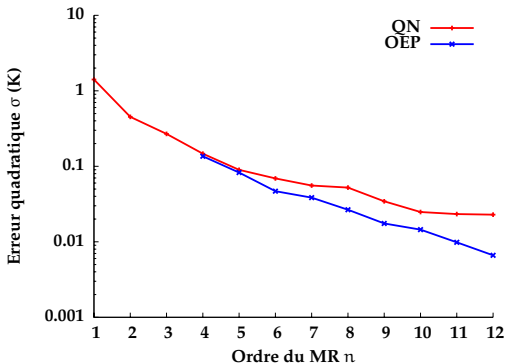
MODÈLE RÉDUIT À 3 ENTRÉES



Entrées $\mathbf{U}(t)$ pour l'identification.

MODÈLE RÉDUIT À 3 ENTRÉES

- Identification



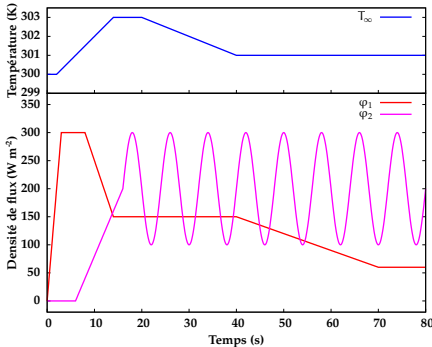
Écart quadratique en fonction de n .

- 2 méthodes d'optimisation

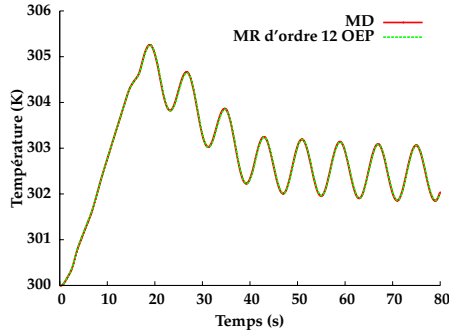
- 1 Méthode d'ordre 1 :
Quasi-newton
- 2 Méthode d'ordre 0 :
Optimisation par Essaims de
Particules

MODÈLE RÉDUIT À 3 ENTRÉES

• Validation



Entrée de validation $\mathbf{U}(t)$.



Thermogrammes au point (16h; 1,25h).

MODÈLE RÉDUIT À 3 ENTRÉES

- Validation

Modèle	$\sigma(K)$	$\varepsilon(K)$	CPU(s)
MD	— — —	— — —	≈ 900
MR 12 OEP	$2,47 \times 10^{-2}$	$5,50 \times 10^{-2}$	$< 0,1$
MR 12 QN	$2,68 \times 10^{-2}$	$5,54 \times 10^{-2}$	$< 0,1$

Erreurs MD/MR et temps de simulation.

MODÈLE RÉDUIT À 3 ENTRÉES

- Validation

Modèle	$\sigma(K)$	$\varepsilon(K)$	CPU(s)
MD	---	---	≈ 900
MR 12 OEP	$2,47 \times 10^{-2}$	$5,50 \times 10^{-2}$	$< 0,1$
MR 12 QN	$2,68 \times 10^{-2}$	$5,54 \times 10^{-2}$	$< 0,1$

Erreurs MD/MR et temps de simulation.

- Identification longue mais utilisation à volonté avec des temps de simulation très courts

Ordre n	10	11	12
Quasi-Newton	872	939	952
OEP	13635	14554	15415

Temps d'identification des Modèles Réduits (en s).

SYNTHÈSE

- Formulation Modèle Réduit thermique linéaire
 - Problème de diffusion-convection forcée
 - Écoulement fluide stationnaire
 - Identification dans \mathbb{C} et \mathbb{R}
 - Optimisation par Quasi-Newton et par Essaim de Particules
- Application : Marche descendante
 - Modèle Réduit à une entrée thermique et 144247 observables
 - Modèle Réduit à 3 entrées thermiques et les d'une ligne comme sortie
 - Bonne concordance MD/MR
 - Temps de simulation **très court**
 - Temps d'identification des Modèles Réduits

- 1 CONTEXTE DE L'ÉTUDE : RÉDUCTION DE MODÈLE EN CONVECTION
- 2 MÉTHODE D'IDENTIFICATION MODALE (MIM) EN CONVECTION-DIFFUSION
- 3 ÉCOULEMENTS LAMINAIRES INCOMPRESSIBLES STATIONNAIRES
- 4 COUPLAGE FAIBLE VITESSE-TEMPÉRATURE
- 5 COMMANDE OPTIMALE PAR MODÈLE RÉDUIT MIM

ÉCOULEMENTS INCOMPRESSIBLES STATIONNAIRES

- Hypothèses
 - Écoulement 2D laminaire et incompressible d'un fluide Newtonien
- Équations de Navier-Stokes

$$\left\{ \begin{array}{l} \nabla \cdot \vec{V} = 0 \\ \frac{\partial \vec{V}}{\partial t} + (\vec{V} \cdot \nabla) \vec{V} = -\frac{1}{\rho} \nabla p + \nu \Delta \vec{V} \\ + \text{conditions aux limites} \\ + \text{condition initiale} \end{array} \right.$$

- Représentation d'état après discrétisation spatiale

$$\left\{ \begin{array}{l} \frac{d\mathbf{V}}{dt} = \mathbf{A}\mathbf{V} + \mathbf{Q}\Psi(\mathbf{V}) + \mathbf{B}\mathbf{U} \\ \mathbf{Y} = \mathbf{C}\mathbf{V} \end{array} \right. \quad \begin{array}{l} \mathbf{V} = \mathbf{V}(t) \in \mathbb{R}^{2 \times N} \\ \mathbf{Y} = \mathbf{Y}(t) \in \mathbb{R}^q \end{array}$$

où $\Psi(\mathbf{V}) = \mathbf{V}_i \mathbf{V}_j \quad i = j = 1, \dots, 2 \times N$

MÉTHODE D'IDENTIFICATION MODALE

- Changement de variable

$$\mathbf{V} = \mathbf{\Sigma}\mathbf{X} \text{ avec } \mathbf{F} = \mathbf{\Sigma}^{-1}\mathbf{A}\mathbf{\Sigma}$$

- Forme modale

$$\begin{cases} \frac{d\mathbf{X}}{dt} = \mathbf{F}\mathbf{X} + \mathbf{\Omega}\Psi(\mathbf{X}) + \mathbf{G}\mathbf{U} & \mathbf{X} = \mathbf{X}(t) \in \mathbb{R}^{2 \times N} \\ \mathbf{Y} = \mathbf{H}\mathbf{X} & \mathbf{Y} = \mathbf{Y}(t) \in \mathbb{R}^q \end{cases}$$

$$\Psi(\mathbf{X}) = (\mathbf{X}_i \mathbf{X}_j) \quad 1 \leq i \leq j \leq 2 \times N$$

- Forme modale du Modèle Réduit ($n \ll 2 \times N$)

$$\begin{cases} \frac{d\mathbf{x}}{dt} = \mathbf{f}\mathbf{x} + \boldsymbol{\omega}\Psi(\mathbf{x}) + \mathbf{g}\mathbf{u} & \mathbf{x} = \mathbf{x}(t) \in \mathbb{R}^n \\ \mathbf{y} = \mathbf{h}\mathbf{x} & \mathbf{y} = \mathbf{y}(t) \in \mathbb{R}^q \end{cases}$$

- Vecteur des paramètres à identifier $\boldsymbol{\theta} = [\mathbf{f}, \boldsymbol{\omega}, \mathbf{g}, \mathbf{h}]$

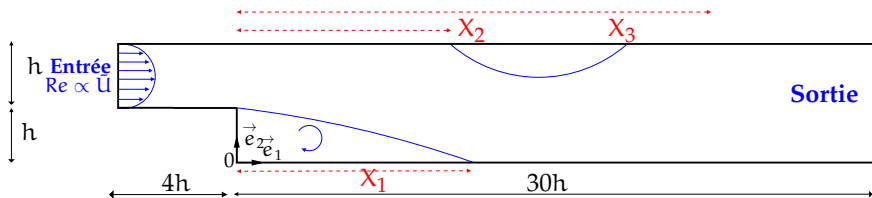
ÉCOULEMENT STATIONNAIRE

- Écoulement stationnaire $\frac{dx}{dt} = 0$

$$\begin{cases} \mathbf{x} = \mathbf{x}(t) \in \mathbb{R}^n, \mathbf{y} = \mathbf{y}(t) \in \mathbb{R}^q \\ \mathbf{0} = \mathbf{x} + \boldsymbol{\omega}' \mathbf{Z}(\mathbf{x}) + \mathbf{g}' \mathbf{u} \\ \mathbf{y} = \mathbf{h} \mathbf{x} \end{cases}$$

- Vecteur des paramètres à identifier $\boldsymbol{\theta} = [\boldsymbol{\omega}', \mathbf{g}', \mathbf{h}]$
- Échantillonnage de données pour l'identification, pour plusieurs valeurs de \mathbf{u}

CAS TEST : MARCHÉ DESCENDANTE



- **Modèle de référence**

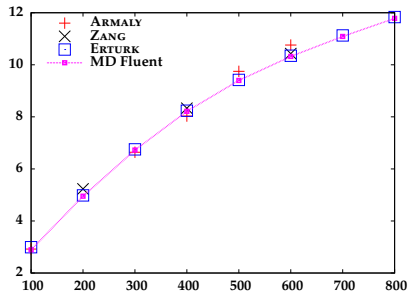
- Gamme de $Re \in [100 : 800]$
- $Re = 2h\bar{U}/\nu$
- Profil parabolique à l'entrée du canal

- **Modèle Détaillé (FLUENT)**

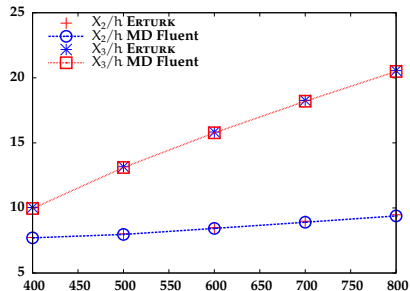
- Ordre $N = 144247$
- Zones de recirculation
 - 1^{ère} zone de longueur X_1
 - 2^{ème} zone à partir $Re = 400$ entre X_2 et X_3

CAS TEST : MARCHE DESCENDANTE

Validation bibliographique du modèle FLUENT sur les zones de recirculation.



X_1/h en fonction de Re .



X_2/h et X_3/h en fonction de Re .

IDENTIFICATION

- Données pour l'identification

- 8 champs stationnaires
 $Re = [100 : 800; 100]$
- $q = 2 * 139677$ observables
- Nombre de données $\approx 2.23 \times 10^6$

- Direction privilégiée

Vitesse (m/s)	moyenne	maximale
$ u_1 $	$1,73 \times 10^{-1}$	$8,76 \times 10^{-1}$
$ u_2 $	$4,95 \times 10^{-3}$	$1,04 \times 10^{-1}$

Valeurs moyennes et maximales de u_1 et u_2 .

- Identification

$$J(\theta) = \sum_{i=1}^8 \sum_{k=1}^q (Y_{ik} - y_{ik}(\theta))^2 = J_{u_1}(\theta) + J_{u_2}(\theta)$$

- Erreur quadratique σ_{u_i}

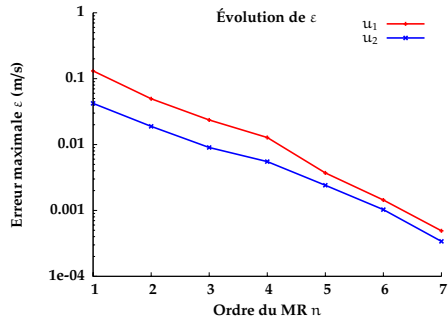
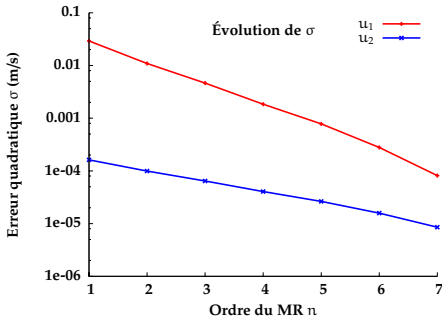
$$\sigma_{u_i} = \sqrt{\frac{J_{u_i}(\theta)}{8 \times q/2}}$$

- Erreur maximale ε

$$(\varepsilon_{u_i})_{\max} = \sup_{\substack{j=1,\dots,8 \\ k=1,\dots,q/2}} |Y_{jk} - y_{jk}|$$

IDENTIFICATION

Variations des écarts en fonction de l'ordre n du Modèle Réduit

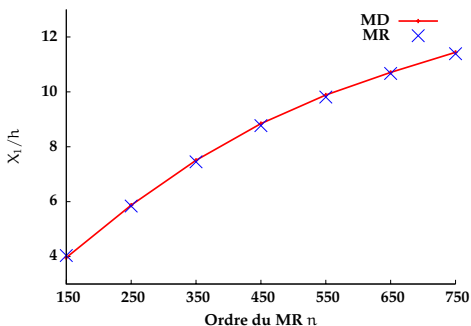


Ordre n	1	2	3	4	5	6	7
Temps d'identification (s)	5	6	151	219	57	414	195

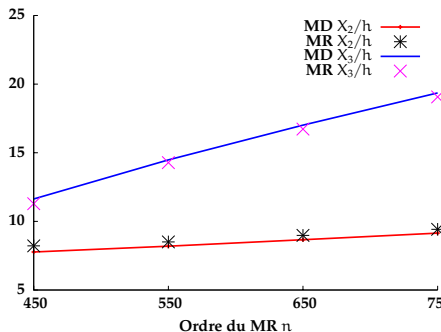
Temps d'identification pour chaque ordre n .

VALIDATION MR $n = 7$

Validation pour $Re = [150 : 750; 100]$, on s'intéresse à X_1 , X_2 et X_3



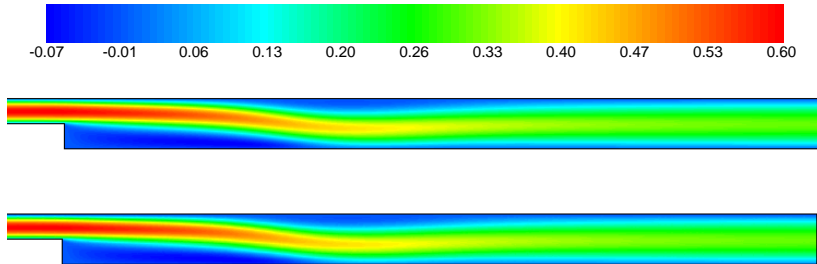
Évolution de X_1/h .



Évolution de X_2/h et X_3/h .

VALIDATION MR $n = 7$

Validation pour $Re = 550$



Champs de vitesse horizontale u_1 (m/s) donnés par le Modèle Détaillé (haut) et par le Modèle Réduit d'ordre 7 (bas) pour $Re = 550$.

- Temps de simulation avec le MR $< 0,1s$ et avec le MD ≈ 30 min

SYNTHÈSE

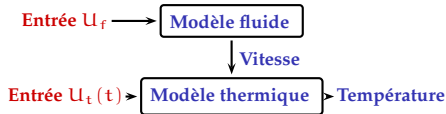
- Formulation Modèle Réduit fluide non-linéaire
 - Problème d'écoulement 2D laminaire et stationnaire

- Application : Marche descendante
 - Modèle Réduit d'ordre 7
 - Quasi-Newton
 - Résultats du MR en accord avec ceux du MD
 - Temps de simulation $< 0,1$ s
 - Temps d'identification : quelques minutes.

- 1 CONTEXTE DE L'ÉTUDE : RÉDUCTION DE MODÈLE EN CONVECTION
- 2 MÉTHODE D'IDENTIFICATION MODALE (MIM) EN CONVECTION-DIFFUSION
- 3 ÉCOULEMENTS LAMINAIRES INCOMPRESSIBLES STATIONNAIRES
- 4 COUPLAGE FAIBLE VITESSE-TEMPÉRATURE**
- 5 COMMANDE OPTIMALE PAR MODÈLE RÉDUIT MIM

ÉCOULEMENTS DE CONVECTION FORCÉE

- Objectif

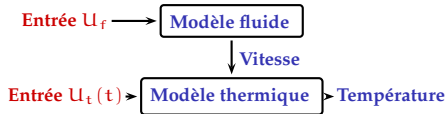


- Hypothèses

- Écoulement 2D laminaire et incompressible
- + Couplage faible

ÉCOULEMENTS DE CONVECTION FORCÉE

- Objectif



- Hypothèses

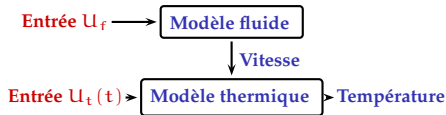
- Écoulement 2D laminaire et incompressible
- + Couplage faible

- Équations locales

$$\left\{ \begin{array}{l} \nabla \cdot \vec{V} = 0 \\ \frac{\partial \vec{V}}{\partial t} + (\vec{V} \cdot \nabla) \vec{V} = -\frac{1}{\rho} \nabla p + \nu \Delta \vec{V} \\ \frac{\partial T}{\partial t} + \vec{V} \cdot \nabla T - \frac{\lambda}{\rho C_p} \Delta T = 0 \\ + \text{conditions aux limites} \\ + \text{condition initiale} \end{array} \right.$$

ÉCOULEMENTS DE CONVECTION FORCÉE

- Objectif



- Équations locales

$$\left\{ \begin{array}{l} \nabla \cdot \vec{V} = 0 \\ \frac{\partial \vec{V}}{\partial t} + (\vec{V} \cdot \nabla) \vec{V} = -\frac{1}{\rho} \nabla p + \nu \Delta \vec{V} \\ \frac{\partial T}{\partial t} + \vec{V} \cdot \nabla T - \frac{\lambda}{\rho C_p} \Delta T = 0 \\ + \text{conditions aux limites} \\ + \text{condition initiale} \end{array} \right.$$

- Hypothèses

- Écoulement 2D laminaire et incompressible
- + Couplage faible

- Discretisation et changement de base

$$\left\{ \begin{array}{l} \mathbf{Z}(t) \in \mathbb{R}^{2 \times N}, \mathbf{X}(t) \in \mathbb{R}^N \\ \dot{\mathbf{Z}} = \mathbf{F}_f \mathbf{Z} + \Gamma_f \Psi(\mathbf{Z}) + \mathbf{G}_f \mathbf{u}_f \\ \dot{\mathbf{X}} = \mathbf{F}_d \mathbf{X} + \Gamma_t \Pi(\mathbf{Z}, \mathbf{X}) + \mathbf{G}_t \mathbf{u}_t(t) \\ \mathbf{Y}^f = \mathbf{H}_f \mathbf{Z} \\ \mathbf{Y}^t = \mathbf{H}_t \mathbf{X} \end{array} \right.$$

MODÈLE RÉDUIT COUPLÉ

- Champ de vitesse stationnaire
- Structure modale du Modèle Réduit

$$\begin{cases} \mathbf{0} = \mathbf{z} + \gamma_f \Psi(\mathbf{z}) + \mathbf{g}_f \mathbf{U}_f \\ \mathbf{y}^f = \mathbf{H}_f \mathbf{z} \end{cases}$$

$$\begin{cases} \dot{\mathbf{x}} = \mathbf{f}_d \mathbf{x} + \gamma_t \Pi(\mathbf{z}, \mathbf{x}) + \mathbf{g}_t \mathbf{U}_t(t) \\ \mathbf{y}^t = \mathbf{h}_t \mathbf{x} \end{cases}$$

- Vecteur de couplage

$$\Pi(\mathbf{z}, \mathbf{x}) = [\mathbf{z}_1 \mathbf{x}_1, \mathbf{z}_2 \mathbf{x}_1, \dots, \mathbf{z}_{n_f} \mathbf{x}_1, \mathbf{z}_1 \mathbf{x}_2, \dots, \mathbf{z}_{n_f} \mathbf{x}_2, \dots, \dots, \mathbf{z}_{n_f} \mathbf{x}_{n_t}]^T$$

MODÈLE RÉDUIT COUPLÉ

- Champ de vitesse stationnaire
- Structure modale du Modèle Réduit

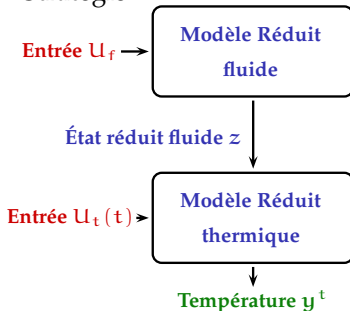
$$\begin{cases} \mathbf{0} = \mathbf{z} + \gamma_f \Psi(\mathbf{z}) + \mathbf{g}_f \mathbf{U}_f \\ \mathbf{y}^f = \mathbf{H}_f \mathbf{z} \end{cases}$$

$$\begin{cases} \dot{\mathbf{x}} = \mathbf{f}_d \mathbf{x} + \gamma_t \Pi(\mathbf{z}, \mathbf{x}) + \mathbf{g}_t \mathbf{U}_t(t) \\ \mathbf{y}^t = \mathbf{h}_t \mathbf{x} \end{cases}$$

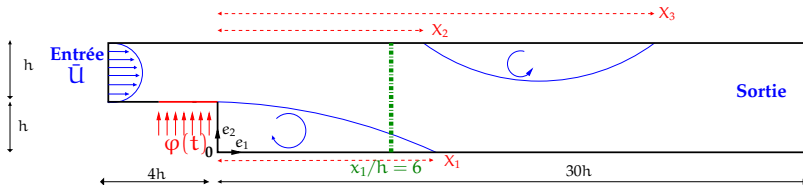
- Vecteur de couplage

$$\Pi(\mathbf{z}, \mathbf{x}) = [\mathbf{z}_1 \mathbf{x}_1, \mathbf{z}_2 \mathbf{x}_1, \dots, \mathbf{z}_{n_f} \mathbf{x}_1, \mathbf{z}_1 \mathbf{x}_2, \dots, \mathbf{z}_{n_f} \mathbf{x}_2, \dots, \dots, \mathbf{z}_{n_f} \mathbf{x}_{n_t}]^T$$

- Stratégie



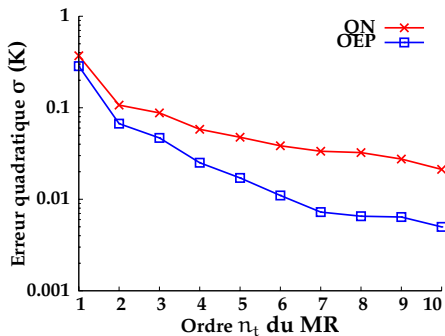
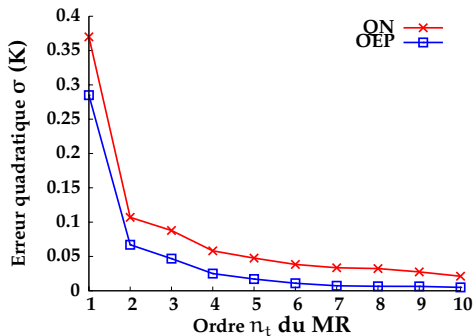
EXEMPLE D'APPLICATION : MARCHÉ DESCENDANTE



- Données pour l'identification $\theta_t = [f_d, \gamma_t, g_t, h_t]$
 - 6 Champs de vitesse $Re = [300 : 800, 100]$
 - $\varphi(t)$ pour chaque champ de vitesse
 - $\varphi(0) = 0$ sinon $\varphi = 300 \text{ W/m}^2$
 - 300 pas de temps de 0,1 s
 - 135 observables sur ligne $x_1/h = 6$
- Minimisation

$$\mathcal{J}(\theta_t) = \sum_{i=1}^6 \sum_{j=1}^{300} \sum_{k=1}^{135} (\mathbf{y}_{ijk}^t(\theta_t) - \mathbf{Y}_{ijk}^t)^2$$

Identification avec état réduit fluide d'ordre $n_f = 7$



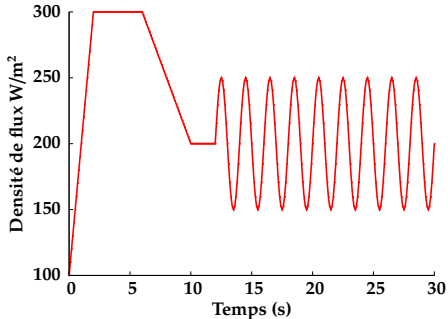
Nombre de paramètres à identifier augmente avec l'ordre n_t

Ordre n_t	1	2	3	4	5	6	7	8	9	10
Nb _{param}	9	32	68	120	185	264	357	464	585	720

EXEMPLE D'APPLICATION

• Validation

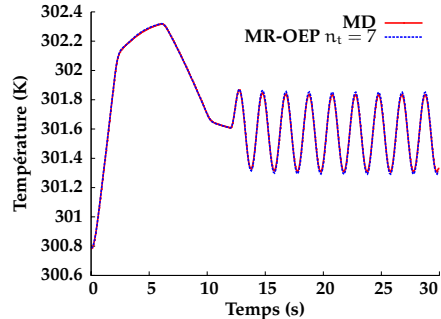
- $Re = 550$
- Entrée de validation $\varphi(t)$



Entrée de validation $\varphi(t)$

• Erreurs de validation

- $\sigma = 6,16 \times 10^{-3} K$
- $\varepsilon = 1,83 \times 10^{-2} K$

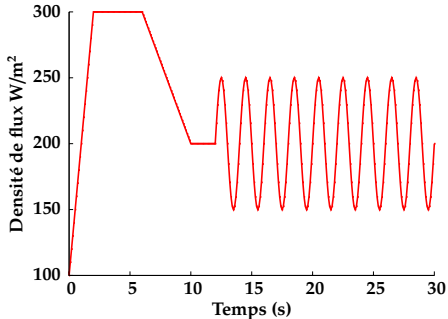


Thermogrammes MD et MR

EXEMPLE D'APPLICATION

• Validation

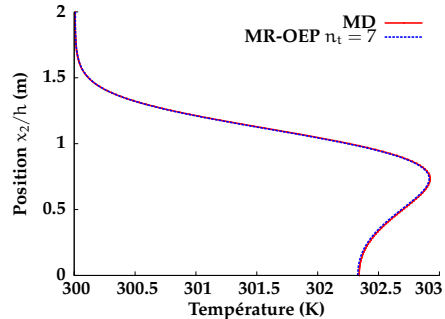
- $Re = 550$
- Entrée de validation $\varphi(t)$



Entrée de validation $\varphi(t)$

• Erreurs de validation

- $\sigma = 6,16 \times 10^{-3} K$
- $\varepsilon = 1,83 \times 10^{-2} K$



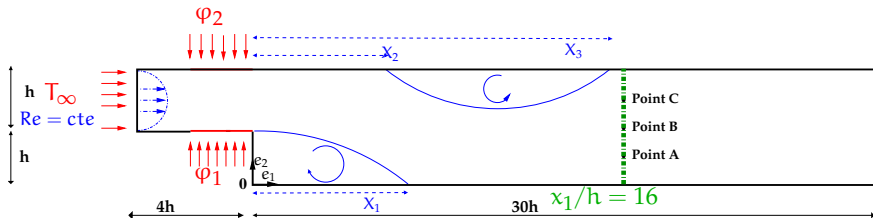
Profil de température à $t = 16,9s$.

SYNTHÈSE

- Formulation de Modèle Réduit incluant le couplage faible vitesse-température
- Couplage à travers l'état réduit fluide
- Exemple d'application sur l'écoulement chauffé en amont de la marche
 - Identification avec QN et OEP
 - Validation satisfaisante
 - Temps de simulation $< 0,1$ s

- 1 CONTEXTE DE L'ÉTUDE : RÉDUCTION DE MODÈLE EN CONVECTION
- 2 MÉTHODE D'IDENTIFICATION MODALE (MIM) EN CONVECTION-DIFFUSION
- 3 ÉCOULEMENTS LAMINAIRES INCOMPRESSIBLES STATIONNAIRES
- 4 COUPLAGE FAIBLE VITESSE-TEMPÉRATURE
- 5 COMMANDE OPTIMALE PAR MODÈLE RÉDUIT MIM

OBJECTIF



En entrée, on a :

- Profil de vitesse parabolique
- Champ de vitesse stationnaire
- Température d'entrée $T_\infty(t)$ inconnue autour de 300 K

En sortie, on veut :

- Profil de température constant en $x_1/h = 16$

Moyens matériels :

- Points de mesure A, B et C
- Actionneurs φ_1 et φ_2

SYSTÈME DYNAMIQUE ET COMMANDE OPTIMALE

- Système dynamique

$$\begin{cases} \frac{dx(t)}{dt} = \mathbf{F}x(t) + \mathbf{G}u(t) \\ \mathbf{y}(t) = \mathbf{H}x(t) \end{cases}$$

- Consigne $\mathbf{y} = \mathbf{y}_c$
- Commande en boucle fermée par retour d'état LQ (Linéaire Quadratique)
 - Minimisation d'un critère \mathcal{J}

$$\mathcal{J} = \int_{\mathcal{J}} [(\mathbf{y} - \mathbf{y}_c)^T \mathbf{Q}(\mathbf{y} - \mathbf{y}_c) + \mathbf{u}^T \mathbf{R}u] dt$$

SYSTÈME DYNAMIQUE ET COMMANDE OPTIMALE

- Système dynamique

$$\begin{cases} \frac{d\mathbf{x}(t)}{dt} = \mathbf{F}\mathbf{x}(t) + \mathbf{G}\mathbf{U}(t) \\ \mathbf{y}(t) = \mathbf{H}\mathbf{x}(t) \end{cases}$$

- Consigne $\mathbf{y} = \mathbf{y}_c$
- Commande en boucle fermée par retour d'état LQ (Linéaire Quadratique)
 - Minimisation d'un critère \mathcal{J}

$$\mathcal{J} = \int_{\mathcal{J}} [\delta\mathbf{x}^T \mathbf{H}^T \mathbf{H} \delta\mathbf{x} + \delta\mathbf{U}^T \mathbf{R} \delta\mathbf{U}] dt$$

- $\delta\mathbf{x} = \mathbf{x} - \bar{\mathbf{x}}$ et $\delta\mathbf{U} = \mathbf{U} - \bar{\mathbf{U}}$ où $\bar{\mathbf{x}}$ et $\bar{\mathbf{U}}$ sont associées à \mathbf{y}_c
- \mathbf{R} coût et pondération de la commande

SYSTÈME DYNAMIQUE ET COMMANDE OPTIMALE

- La fonction Lagrangienne \mathcal{L}

$$\mathcal{L}(\mathbf{x}, \mathbf{U}, \boldsymbol{\lambda}) = \mathcal{J}(\mathbf{x}) - \langle \mathbf{E}(\mathbf{x}, \mathbf{U}), \boldsymbol{\lambda} \rangle$$

$$\text{avec } \mathbf{E}(\mathbf{x}, \mathbf{U}) = \frac{d\mathbf{x}}{dt} - \mathbf{A}\mathbf{x} - \mathbf{B}\mathbf{U} = \mathbf{0}$$

- Système d'optimalité

$$\begin{cases} -\frac{d\boldsymbol{\lambda}}{dt} = \mathbf{H}^T \mathbf{H} \mathbf{x} + \mathbf{F}^T \boldsymbol{\lambda} \\ \mathbf{R} \delta \mathbf{U} + \mathbf{G}^T \boldsymbol{\lambda} = 0 \end{cases}$$

- Loi de rétro-action

$$\boldsymbol{\lambda} = \mathbf{P}\mathbf{x}$$

COMMANDE OPTIMALE

- Loi de commande LQ

$$\delta \mathbf{U}(t) = -\mathbf{R}^{-1} \mathbf{G}^T \mathbf{P}(t) \delta \mathbf{x}(t)$$

$\mathbf{P} \in \mathbb{R}^{(n,n)}$ solution de l'équation matricielle non linéaire dite de Riccati

$$\dot{\mathbf{P}}(t) + \mathbf{P}(t) \mathbf{F} + \mathbf{F}^T \mathbf{P}(t) - \mathbf{P}(t) \mathbf{G} \mathbf{R}^{-1} \mathbf{G}^T \mathbf{P}(t) + \mathbf{H}^T \mathbf{H} = \mathbf{0}$$

- Algorithme de la commande LQ

- ① hors ligne

Connaissant les matrices du système dynamique \mathbf{F} , \mathbf{G} et \mathbf{H} ainsi que le coût de la commande \mathbf{R} , on détermine \mathbf{P} par la résolution de l'équation de Riccati.

Puis on calcule la matrice de gain $\mathbf{K} = -\mathbf{R}^{-1} \mathbf{G}^T \mathbf{P}(t)$

- ② en ligne

Connaissant la déviation $\delta \mathbf{x}$ du système à l'instant t , on détermine la commande optimale par la relation $\delta \mathbf{U} = \mathbf{K} \delta \mathbf{x}$

ESTIMATION DE L'ÉTAT

- Système bruité

$$\begin{cases} \frac{dx(t)}{dt} = Fx(t) + G_1 u(t) + G_2 w(t) \\ y(t) = Hx(t) + v(t) \end{cases}$$

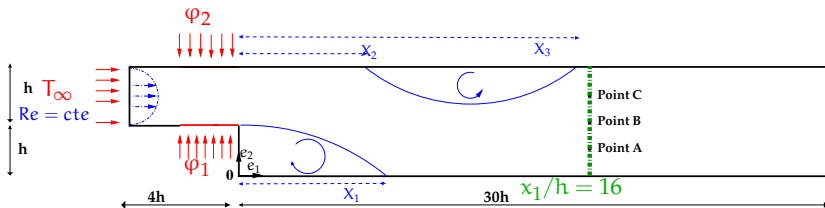
- $w(t)$ est le bruit d'état, caractérisé par sa covariance W
- $v(t)$ est le bruit de mesure, caractérisé par sa covariance V
- Difficulté : État w soit non mesurable ou soit pas en totalité
- Estimateur d'état : filtre de Kalman
 - Hypothèses
 - Bruits blancs, gaussiens et centrés
 - Bruits d'état et de mesure indépendants
 - Estimation de \hat{x} à partir des mesures $y_m(t)$:

$$\dot{\hat{x}}(t) = [F\hat{x}(t) + G_1 u(t)] + K_f [y_m(t) - H_m \hat{x}(t)]$$

avec K_f le gain de Kalman $K_f(t) = \Sigma H^T V^{-1}$ où

$$\dot{\Sigma} = \Sigma F^T + F \Sigma - \Sigma H^T V^{-1} H \Sigma + G W G^T$$

COMMANDE OPTIMALE PAR MODÈLE RÉDUIT MIM



- Modèle Réduit à 3 entrées thermiques

$$\begin{cases} \dot{\mathbf{x}}(t) = \mathbf{F}\mathbf{x}(t) + \mathbf{G}_1\mathbf{U}(t) + \mathbf{G}_2\Delta T_\infty(t) \\ \mathbf{y}(t) = \mathbf{H}\mathbf{x}(t) \end{cases}$$

- 2 commandes

$$\mathbf{U}(t) = [\varphi_1(t) \varphi_2(t)]^T$$

- Une perturbation

$$\Delta T_\infty(t) = T_\infty(t) - 300$$

COMMANDE OPTIMALE PAR MODÈLE RÉDUIT MIM

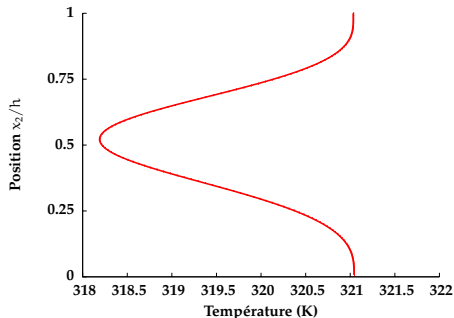
• Commande de référence $\bar{\mathbf{U}}$

- Système stationnaire
- Pas de perturbation
 $\Delta T_\infty = 0$ et $T_\infty = 300$ K
- Consigne $\mathbf{y}_c \approx 320$ K
- commande $\bar{\mathbf{U}}$:

$$\bar{\mathbf{U}} = (\mathbf{S}^T \mathbf{S})^{-1} \mathbf{S}^T \mathbf{y}_c$$

$$\bar{\mathbf{U}} = \begin{bmatrix} \bar{\varphi}_1 \\ \bar{\varphi}_2 \end{bmatrix} = \begin{bmatrix} 2182,8 \\ 2174,7 \end{bmatrix}$$

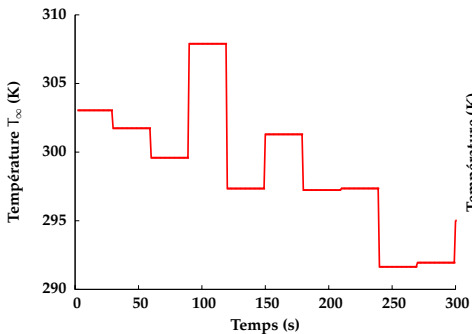
- \mathbf{S} matrice des sensibilités statiques $\mathbf{S} = -\mathbf{H}\mathbf{F}^{-1}\mathbf{G}_1$
- État de référence
 $\bar{\mathbf{x}} = -\mathbf{F}^{-1}\mathbf{G}_1\bar{\mathbf{U}}$



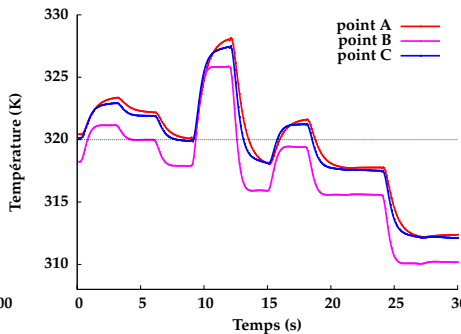
Profil optimal obtenu avec
 $\Delta T_\infty = 0$ K et $\bar{\mathbf{U}}$.

COMMANDE OPTIMALE PAR MODÈLE RÉDUIT MIM

- Système perturbé $T_\infty \neq 300$ K



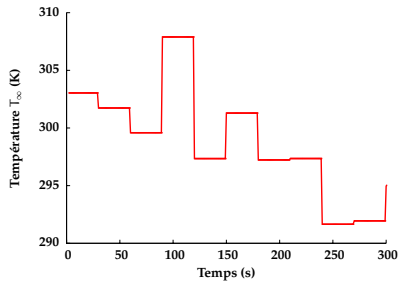
Évolution de $T_\infty(t)$.



Thermogrammes aux points A, B et C.

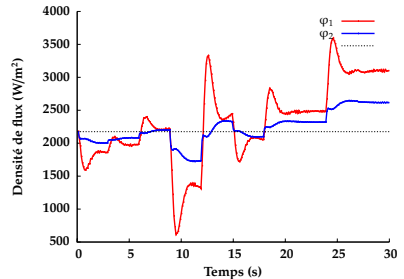
COMMANDE OPTIMALE PAR MODÈLE RÉDUIT MIM

- Système perturbé $T_\infty \neq 300$ K



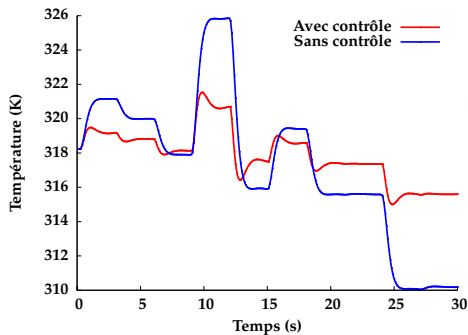
Évolution de $T_\infty(t)$.

- Lois de commande obtenues

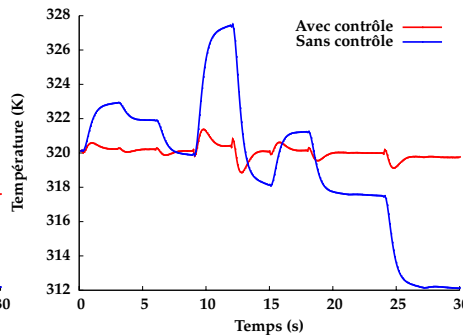


Évolution de $\varphi_1(t)$ et $\varphi_2(t)$.

COMMANDE OPTIMALE PAR MODÈLE RÉDUIT MIM

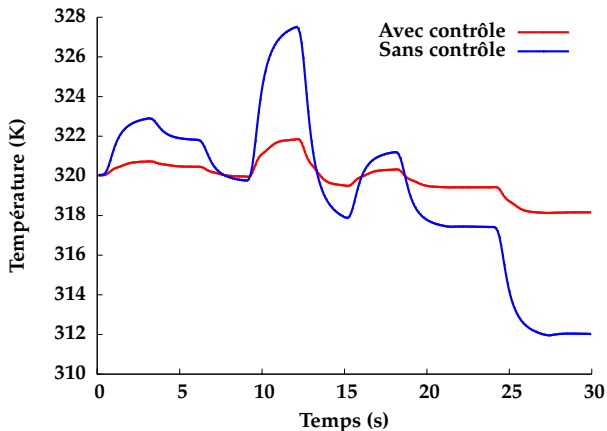


Thermogrammes au point B.



Thermogrammes au point C.

COMMANDE OPTIMALE PAR MODÈLE RÉDUIT MIM



Évolution de la température moyenne obtenue par le **Modèle Détaillé**.

SYNTHÈSE

- Aspect de la commande optimale par retour d'état LQ
- Commande d'un Modèle Réduit MIM
- Exemple d'application sur l'écoulement chauffé en amont de la marche
 - Commande en temps réel
 - Résultats prometteurs

CONCLUSIONS

- ➊ Réduction de modèle en convection-diffusion
 - Modèle Réduit thermique linéaire dans \mathbb{C} et dans \mathbb{R}
- ➋ Réduction de modèle en mécanique des fluides
 - Régime laminaire et stationnaire
- ➌ Construction de Modèle Réduit thermique couplé (vitesse-température)
 - Couplage à travers l'état réduit fluide
- ➍ Application au problème de commande optimale
 - Commande Linéaire Quadratique
 - Filtre de Kalman

PERSPECTIVES

- 1 Identification de Modèle Réduit fluide relatif à plusieurs entrées
- 2 Identification de Modèle Réduit fluide instationnaire
- 3 Couplage fort entre les champs de vitesse et de température
- 4 Étude paramétrique de commande optimale
- 5 Contrôle en utilisant des Modèles Réduits couplés